

В.И.Леонов, Х.С.Хазанов

К РАСЧЕТУ ИСКРИВЛЕННЫХ КРУГЛЫХ ПЛАСТИН
НА НОРМАЛЬНЫЕ СОСРЕДОТОЧЕННЫЕ ВОЗДЕЙСТВИЯ

Исследуется напряженное состояние круглой панели радиуса r_0 , вырезанной из цилиндрической оболочки с радиусом средней поверхности R и толщиной δ .*) Рассмотрено нагру-

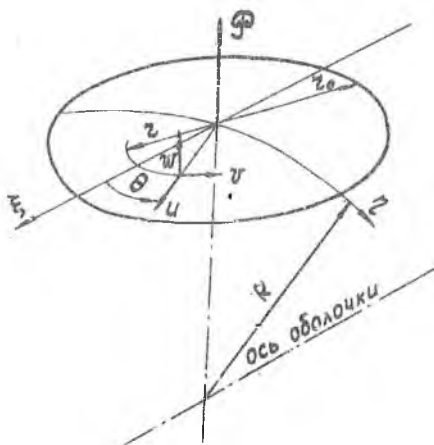


Рис. I

*) Основные обозначения в настоящей статье приняты такими же, как на стр. 16 настоящего сборника.

жение панели нормальной сосредоточенной силой в центре и случай, когда нормальная сила приложена через жесткое включение радиуса r_1 . Наружный контур панели предполагается либо шарнирно опертым, либо жестко заземленным.

Используется решение однородного дифференциального уравнения полой цилиндрической оболочки в полярных координатах [1,2,3], которое для напряженного состояния, симметричного относительно ξ и η (рис.1), имеет вид

$$\bar{E}_r(z, \theta) = w + i\phi = \sum_{\nu=0,2,4,\dots}^{\infty} \sum_{n=0}^{\infty} \ell_{\nu} i^{\nu} [A_n H_n^{(\nu)}(z) + B_n J_n(z)] [J_{n-\nu}(z) + J_{n+\nu}(z)] \cos \nu \theta, \quad (1)$$

где $\ell_{\nu} = \frac{1}{2}$ при $\nu=0$ и $\ell_{\nu} = 1$ при $\nu \neq 0$

$$z = x \sqrt{2i}, \quad x = \omega r, \quad \omega = \frac{1}{2} \sqrt[4]{3(1-\mu^2)} \frac{r_0}{\sqrt{R\delta}},$$

$A_n = a_n + i b_n$, $B_n = c_n + i d_n$ - комплексные постоянные.

Через $J_n(z)$ и $H_n^{(\nu)}(z)$ обозначены функция Бесселя первого рода и первая функция Ганкеля.

Применительно к нагружению панели нормальной силой к решению (1) следует добавить фундаментальное решение $F^0(z, \theta)$, приведенное на стр. 17 настоящего сборника.

Если к панели приложена в начале координат сосредоточенная сила P , то в (1) нужно оставить только возрастающую при больших ωr часть, т.е. положить $A_n = 0$

В случае шарнирного опирания контура панели граничные условия запишутся в виде

$$\text{при } \rho = 1, \quad M_{\rho}^{\circ} + \bar{M}_{\rho} = 0, \quad u^{\circ} + \bar{u} - \frac{1}{2} \alpha (1 - \cos 2\theta) = 0 \\ w^{\circ} + \bar{w} + \alpha = 0, \quad v^{\circ} + \bar{v} - \frac{1}{2} \alpha \sin 2\theta = 0, \quad (2)$$

где α - жесткое смещение.

При жестком заземлении контура первое граничное условие системы (2) заменится на

$$\frac{\partial w^{\circ}}{\partial \rho} + \frac{\partial \bar{w}}{\partial \rho} = 0. \quad (3)$$

Индексом „0" сверху будем обозначать все величины, соответствующие фундаментальному решению. Черточкой сверху - величины, соответствующие решению (1) однородного уравнения. Ряды

для усилий и перемещений срединной поверхности оболочки, соответствующие фундаментальному решению $F^\circ(x, \theta)$ и решению (I), приведены на стр. 19-20 настоящего сборника и в [2,3].

Приравнявая нулю в каждом уравнении системы (2) члены, содержащие одинаковые тригонометрические функции, получим бесконечную систему алгебраических уравнений относительно C_n , d_n и a . Заменяя бесконечные ряды конечными суммами, приходим к замкнутой системе уравнений.

Ниже приведены некоторые результаты вычислений на ЭВМ БЭСМ-4. Коэффициент Пуассона μ принимался равным 0,3. Все результаты представлены в безразмерном виде: напряжения отнесены к $\sigma_* = \frac{P}{\delta^2}$, а перемещения к $\frac{R\sigma_*}{E}$. Параметр ω , характеризующий геометрию панели, изменялся от 0 (плоская пластина) до 6.

На рис. 2 и 3 в качестве иллюстрации показано распределение изгибных и мембранных напряжений для шарнирно опертой панели ^{*)} при $\omega = 5$. Сплошные линии соответствуют $\theta = 0$, штриховые - $\theta = \frac{\pi}{2}$. Изгибные напряжения в точке приложения сосредоточенной силы имеют логарифмическую особенность. Мембранные напряжения имеют конечное значение и достигают максимума в начале координат. При $\omega \geq 2$ способ закрепления панели (шарнирное опирание, жесткая заделка) влияет на распределение напряжений только вблизи ее границы. Это проиллюстрировано на рис. 2 и 3, где кривые I соответствуют жесткому защемлению контура панели. Изгибные напряжения, ввиду их малости, построены в десятикратном масштабе.

Сила P , приложенная в центре панели, уравновешивается частично изгибными напряжениями, частично - напряжениями в срединной поверхности. Обозначим через P_1 долю силы P , уравновешиваемую на контуре $p = \text{const}$ напряжениями в срединной поверхности. Штрих-пунктирные кривые на рис. 3 показывают изменение по p отношения $\frac{P_1}{P}$ (кривая I - для

*) Все графики в статье, за исключением специально оговоренных, построены применительно к случаю шарнирного опирания панели.

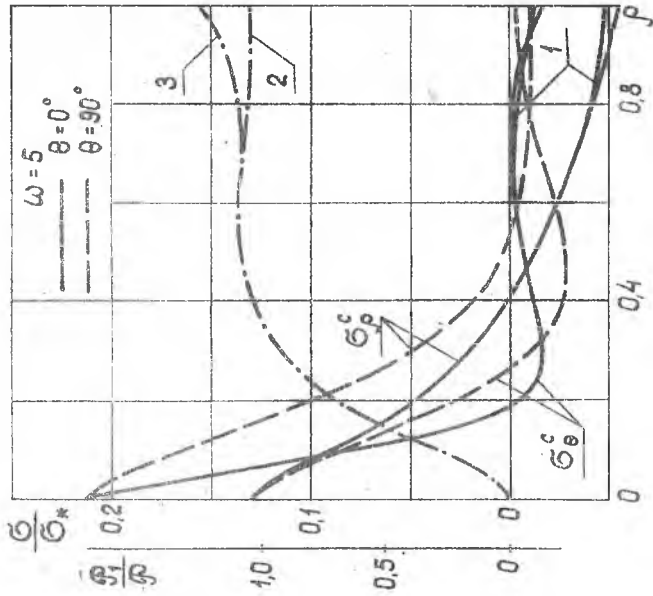


Рис.3

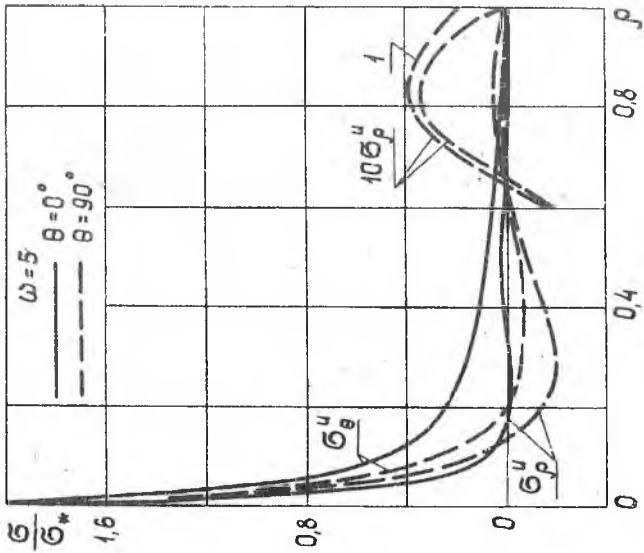


Рис.2

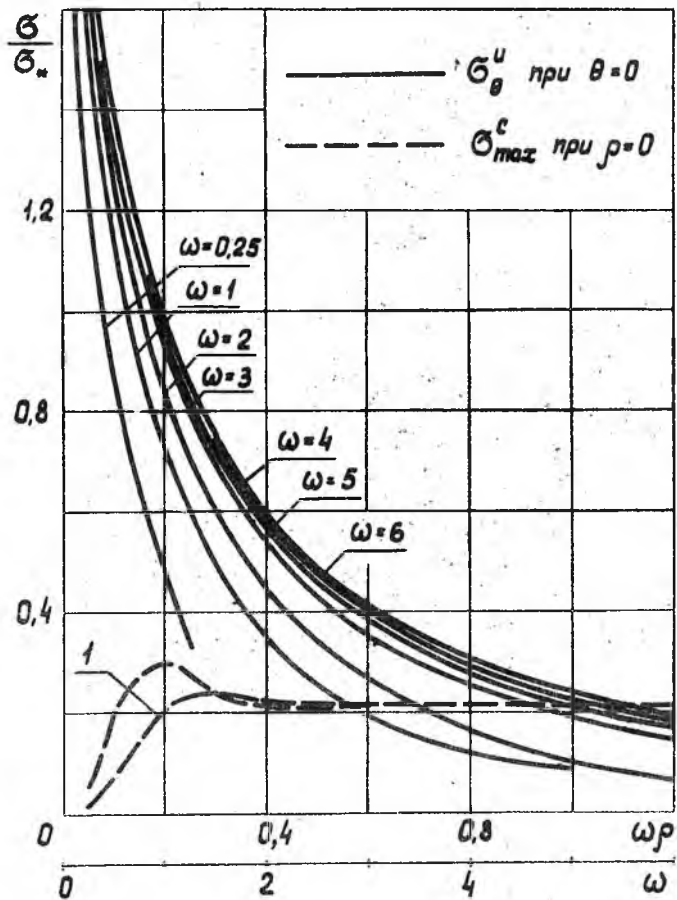


Рис. 4

жесткого заземления). Начиная с $\rho \geq 0,3$, эта величина близка к единице. Некоторый рост ее в районе $\rho = 1$ объясняется влиянием краевых условий.

Сплошными линиями на рис.4 показано изменение изгибных напряжений σ_{θ}^u при $\theta = 0$ в зависимости от величины $\omega\rho$, которая при фиксированных R и δ пропорциональна расстоянию от точки приложения силы.

Начиная с $\omega = 3$ и выше, кривые достаточно близки друг к другу, особенно вблизи начала координат. На том же рисунке штриховыми линиями дана зависимость максимальных мембранных напряжений σ_{\max}^c при $\rho = 0$ от параметра ω (кривая I - для жесткого заземления). График показывает, что σ_{\max}^c для $\omega > 1,5$ практически не зависит от величины ω и от способа закрепления панели.

На рис.5 показано изменение максимального прогиба панели ($\rho = 0$) для случаев шарнирного опирания и жесткой заделки (кривая I) контура.

На основании приведенных исследований можно утверждать, что для оценки напряженного состояния цилиндрической оболочки в окрестности сосредоточенной нагрузки можно пользоваться результатами расчетов круговых искривленных панелей, как это предлагает Г.Н.Чернышев [4], причем схема с шарнирным опиранием контура является более предпочтительной.

Для случая, когда сила \mathcal{P} приложена к панели через жесткое включение, граничные условия по линии спая запишутся в виде

$$\text{при } \bar{\rho} = 0 \quad w^{\circ} + \bar{w} + a - c = 0, \quad u^{\circ} + \bar{u} - \frac{1}{2} \alpha(a-c)(1 - \cos 2\theta) = 0$$

$$\frac{\partial w^{\circ}}{\partial \rho} + \frac{\partial \bar{w}}{\partial \rho} = 0, \quad v^{\circ} + \bar{v} - \frac{1}{2} \alpha(a-c) \sin 2\theta = 0, \quad (4)$$

где

$$\bar{\rho} = \frac{\rho - \rho_1}{1 - \rho_1}, \quad \rho_1 = \frac{r_1}{r_0}$$

c - жесткое смещение включения.

По наружному контуру панели, при $\bar{\rho} = 1$, граничные условия имеют вид (2) и (3). В решении (I) однородного уравнения следует при этом удерживать как возрастающую, так и убывающую части.

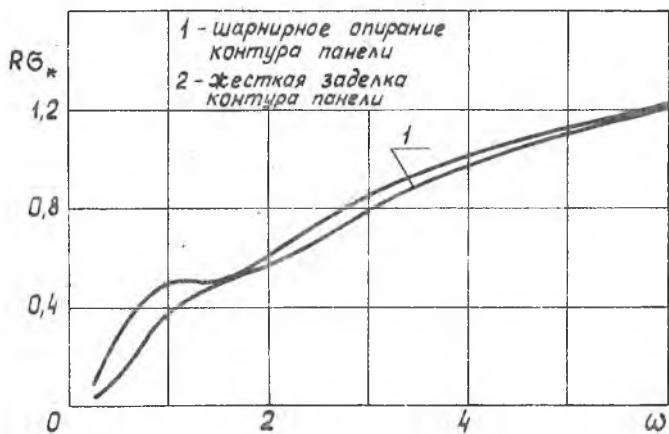


Рис.5

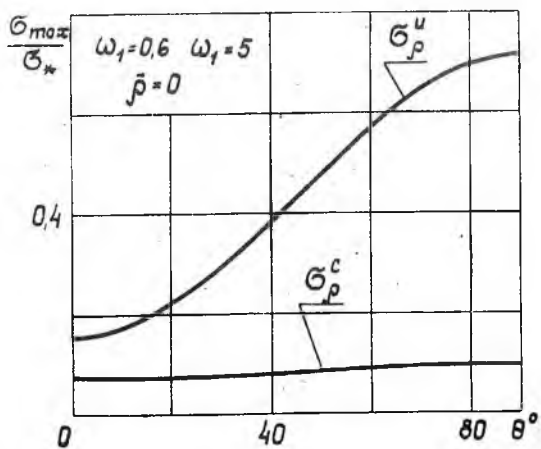


Рис.6

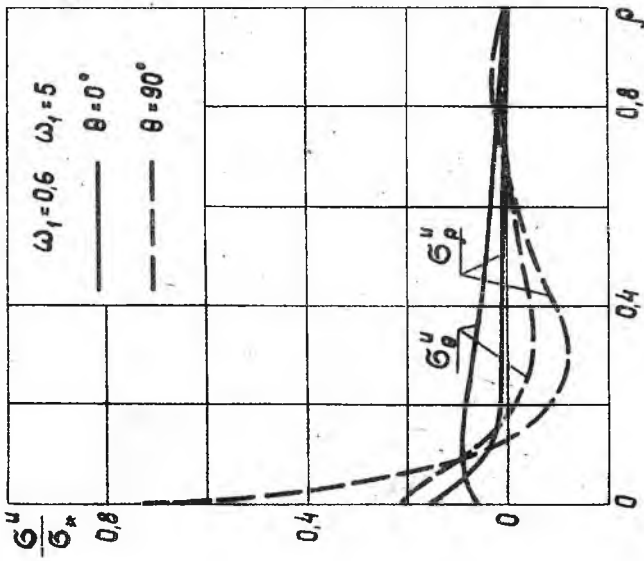


Рис. 7

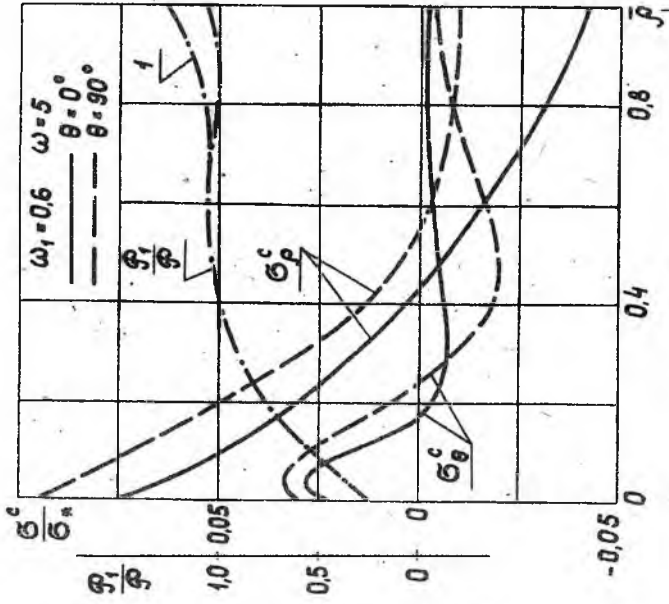


Рис. 8

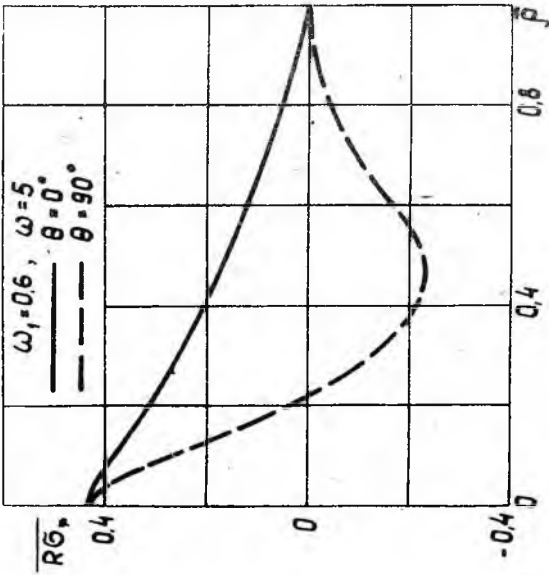


Рис.9

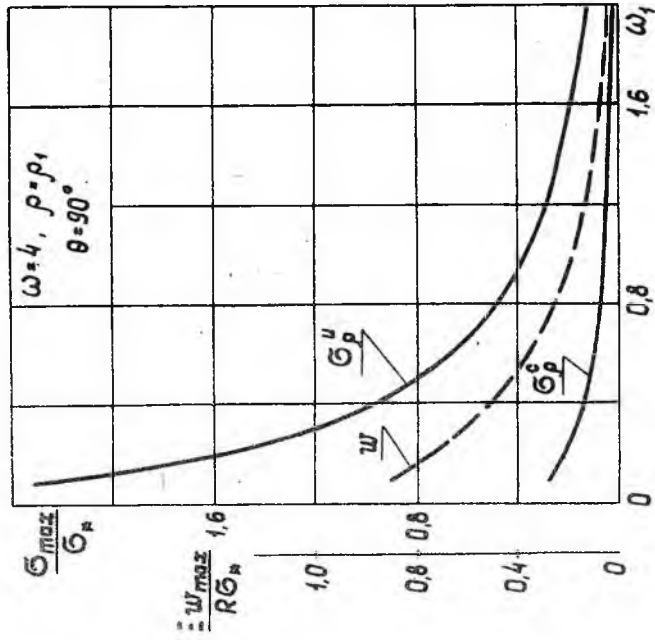


Рис.10

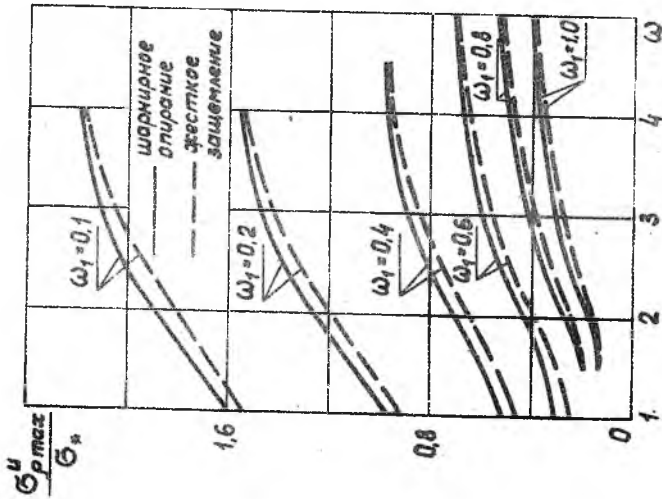


Рис. II

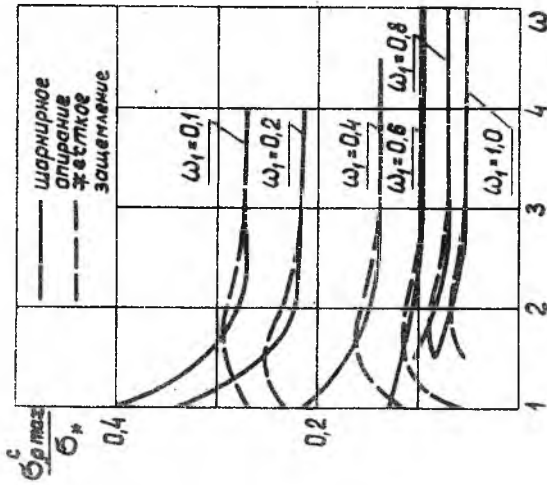


Рис. I2

Размер выключения характеризуется безразмерным параметром

$$\omega_1 = \frac{1}{2} \sqrt[4]{3(1-\mu^2)} \frac{r_1}{\sqrt{R\delta}} \quad (5)$$

Характер изменения изгибных σ_p^u и мембранных σ_p^c напряжений в панели по контуру спая с выключением для $\omega_1 = 0,6$ и $\omega = 5$ показан на рис.6. Максимальных значений напряжения достигают при $\theta = \frac{\pi}{2}$. Ввиду отсутствия окружных деформаций здесь имеет место соотношения $\sigma_\theta^u = \mu \sigma_p^u$ и $\sigma_\theta^c = \mu \sigma_p^c$.

Зависимость напряжений и нормальных перемещений от $\bar{\rho}$ приведена на рис.7-9. Сплошные линии соответствуют $\theta = 0$, штриховые $\theta = \frac{\pi}{2}$. Штрих-пунктирными линиями на рис.8 показан закон изменения величин $\frac{\bar{\rho}_1}{\bar{\rho}}$.

Влияние радиуса выключения на максимальные напряжения в панели и перемещение выключения w для $\omega = 4$ представлено на рис.10. На рис.11 и 12 показано для различных ω_1 влияние параметра ω на максимальные значения изгибных и мембранных напряжений в панели.

Из графиков видно, что с ростом ω имеет место тенденция к стабилизации σ_{max} . Характер закрепления наружного контуре панели мало влияет на величину максимальных напряжений в системе.

Л и т е р а т у р а

1. Савин Г.М., О.М.Гузь. ДАН УРСР, №11, 1964.
2. Хазанов Х.С. Труды КуАИ, вып.29, 1967.
3. Хазанов Х.С. Напряженное состояние цилиндрической оболочки с подкрепленным круглым отверстием. Труды КуАИ, вып.39, 1968.
4. Чернышев Г.Н. О контактных задачах в теории оболочек. Труды УП Воевоенной конференции по теории оболочек и пластин. Наука, 1970.